

河口部における水質予測について

山口大学 工学部 正員 ○ 浦 勝
山口大学 工学部 学生員 徳田 稔夫

1 はじめに

各種産業の発達と人口の都市集中は都市河川を汚染し、各種の水質障害をもたらしている。これらの問題に因り各分野において多くの研究がなされているが、ここではくに日本海側の河川のように河口部において海水が河床部に侵入し、河川水との間に明瞭な境界面を形成するいわゆる弱混合型河川について水質分布の計算を試みた。このような型の河川の水質資料が乏しく、十分な検討を行うことが得なから、このような問題を考える際の肉題点を検討してみた。

2 基礎式

流水中の着目する物質の濃度 C は一般に次式により表される。

$$\frac{\partial C}{\partial t} + \frac{\partial}{\partial x}(-D_x \frac{\partial C}{\partial x}) + \frac{\partial}{\partial y}(-D_y \frac{\partial C}{\partial y}) + \frac{\partial}{\partial z}(-D_z \frac{\partial C}{\partial z}) + \frac{\partial}{\partial x}(uC) + \frac{\partial}{\partial y}(vC) + \frac{\partial}{\partial z}(wC) = S \quad \dots \quad (1)$$

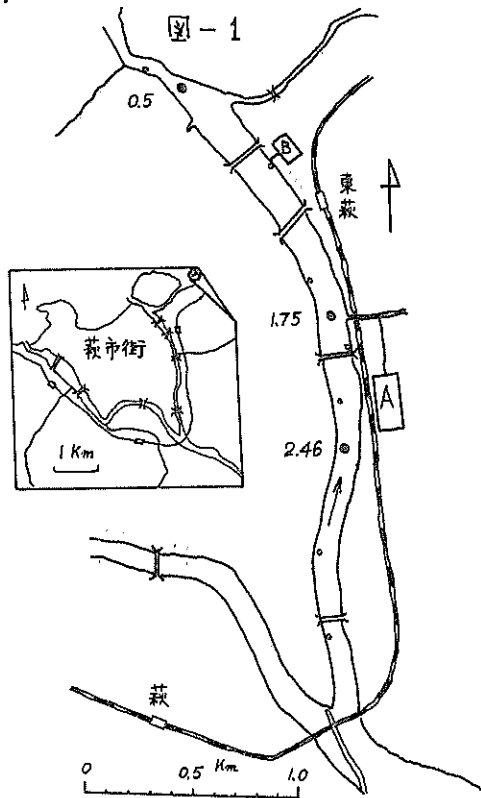
ただし C : 物質濃度, x, y, z : それぞれ河川上流, 横断, 水深方向距離, u, v, w : 流速の x, y, z 方向成分, D_x, D_y, D_z : 拡散係数の x, y, z 方向成分, S : 物質の sink または source で、例えば有機物質で一次反応を仮定できれば $S = -kC$ とする。

式(1)はいくつかの仮定と、与えられた境界条件のもとに種々の解が出されているが¹⁾、ここではこれを弱混合型河川である萩市の松本川に適用してみる。

感潮河川は外海潮汐の多次回の作用と河川固有流の組合せの結果として物質濃度分布が規定されると考えられる。したがって物質分布の非定常問題を考えることはかなり難しい問題であり、水質問題を上述の上・下限となる満・干潮両停留時に擬定常状態として考えることにする。さらに $u \gg v, w$, $\frac{\partial}{\partial y} = 0$ 。また着目する流水部を深水部とすれば、境界面より上部では $\frac{\partial}{\partial z} = 0$ と考え、そのかわり右辺に source として境界面を通る物質の移動を考慮する。また物質を COD で測定したとき一次反応を仮定して sink として減衰を入れる。したがって基礎式は次式のような簡単な一次元形になる。

$$\frac{\partial}{\partial x}(-D \frac{\partial C}{\partial x}) + \frac{\partial}{\partial x}(-uC) = -kC + K(C_b - C) \quad \dots \quad (2)$$

D : 境界面での移動係数, C_b : 下層物質濃度



3. 松本川の河川性状 及び 拡散係数

松本川は図-1に示すようにかなり端正であるが河口がさわめて狭い。河床形は図-3に見られるように凹凸の激しいが、平均的に見て河口より0~1kmでは河床勾配 $3/1,000$ 、1~2.6kmで $3/0,000$ 、2.6~3.4kmで $2/1,000$ とみられる。河道に於ける塩分の鉛直濃度分布測定により、濃度の急変する明瞭な内部境界面を有することが知られた。この境界面高さを用いて淡水部の流積を求めたものの一例が図-2である。これより0.5~2.5kmの区間において流積はほぼ一定とみることができよう。したがって式(2)において $\partial^2/\partial x^2 = 0$ とみることができよう。

つぎに拡散係数について

を考へる。式(2)において、着目する物質を保存物質である塩分とし、境界面を越える塩分の輸送を後に述べる理由で無視すれば右辺=0となり、

$$\frac{\partial}{\partial x}(D \frac{\partial C}{\partial x}) + U \frac{\partial C}{\partial x} = 0 \dots (3)$$

積分して、

$$\ln C + K_1 = -U \int \frac{dx}{D} \dots (4)$$

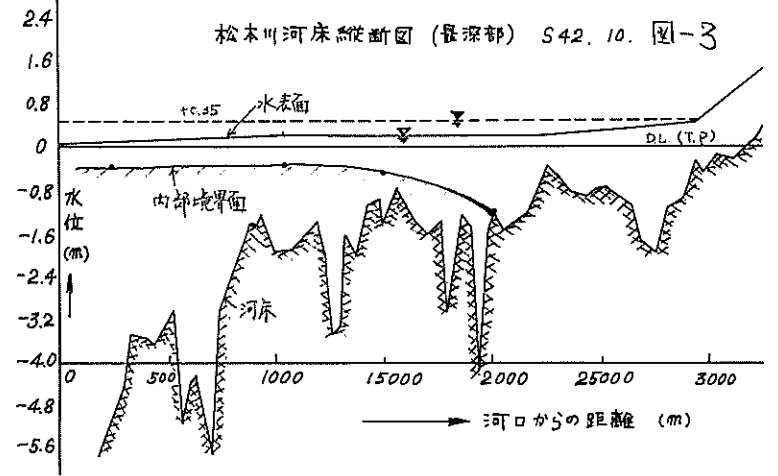
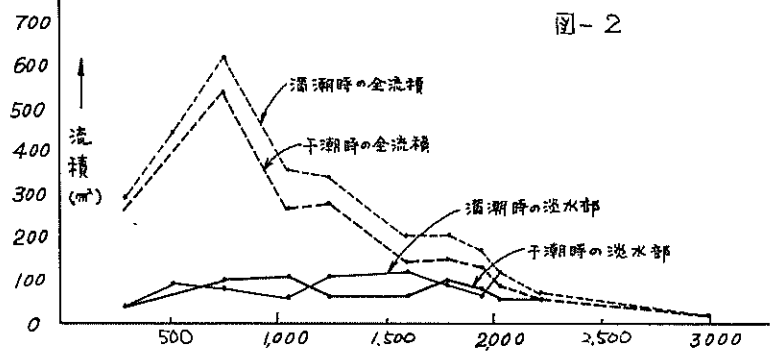
K_1 : 積分定数。いま、
 $D = D_0 = \text{const.}$ と仮定し、
 $x = l_0$ で $C = C_0$ (外海塩分濃度) とするとすれば、

$$\ln \frac{C}{C_0} = -\left(\frac{U}{D_0}\right)(x+l_0) \dots (5)$$

逆に拡散係数は

$$D_0 = -\frac{U(x+l_0)}{\ln(C/C_0)} \dots (6)$$

となる。
 式(6)を用いて、実測された淡水部塩分濃度を



用いて算出した拡散係数の一部を図-5に示した。これより拡散係数は概して存在する区間では河口より潮位差に因依して減少してゆくようである。潮汐作用が非常に小さい時はほとんど一定と見えてもさうかえ存せうである。潮汐作用が大きき時は河口より距離に反比例的に減少し、上流側の河川固有の拡散係数に漸近するものであろう。(以下、 $Ippen$ が仮定したような形を採用して

$$D = D_0 l_0 / (x+l_0) \dots (7)$$

式(7)を式(4)に代入して積分を行えば、次式が得られる。

$$\ln \frac{C}{C_0} = -\frac{U}{2D_0 l_0} (x+l_0)^2 \dots (8)$$

ただし D_0 は $x=0$ における拡散係数。

式(5)~(8) 中の l_0 は河川水が海に完全に希釈されるまでの河口からの距離を表しており、これは河川固有流量に関係していることが想像される。

ところで式(6)を用いて塩分分布より拡散係数を逆算して中くと、塩分存在可能な区間より上流の点では、塩分分布が次第に減少し河川固有の濃度に近づくこと、 D が無限に大きくなる。この区間では潮汐作用による拡散はむしろよく河川固有流による D の評価がなされなければならぬであろう。

このように弱混合型河川における拡散係数については未だ検討されるべき多くの問題が残されている。

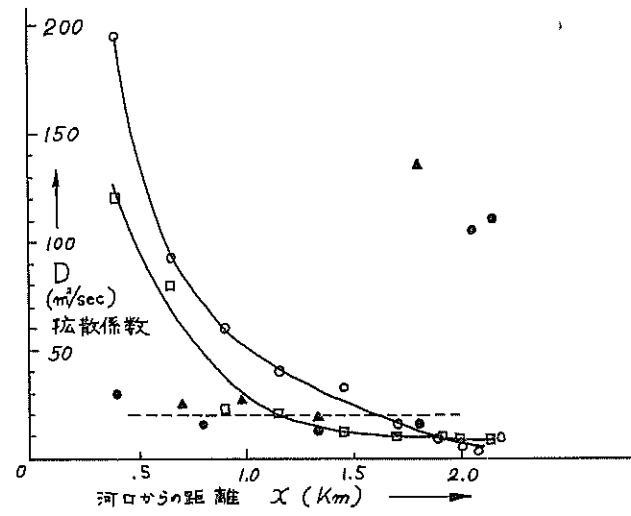
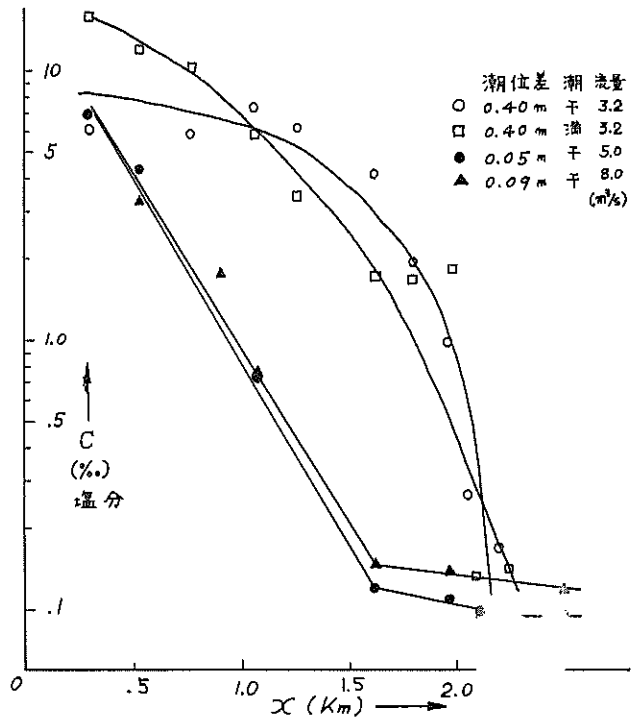
4. 境界面輸送係数

前述のように、内部境界面におけるまき上げを無視して、上層淡水部の塩分濃度を考えれば、式(2)における内部境界面の輸送係数について検討してみよう。楕円上層塩分分布は内部波の破壊によるまき上げが主体的に作用していると考え松本川に対しては $K/U = (1.0 \sim 2.0) \times 10^{-4}$ と与えられ、子石新川では 10^{-5} 、Keulegan は 2.12×10^{-4} という値を得ている。

ここで式(2)の K に物理的解釈を以て、量的評価を試みよう。可能な場合運動量と物質移動に關する Prandtl の相似に類推をとり、

$$K = \frac{\tau_i}{\rho} \frac{1}{U + U_i (Sc - 1)} \dots (11)$$

ここに Sc : シミット数, U : 淡水部相対速度, U_i : 境界面速度, τ_i : 内部境界面剪断力, ρ : 淡水密度。ここで $\tau_i = \tau_i / 2\rho U^2$ とし Keulegan の実験値 $\tau_i = 35.0 / Re$, ($Re = U_0 H / \nu$) で河口部 Reynolds 数を扱い、さらに $Sc = 475$ ($NaCl \rightarrow H_2O$ at $20^\circ C$) と用いて計算すると、 $K/U = 10^{-7}$ の order となる。式(11)の妥当性、さらに K に計算に代ける多くの仮定に対する



検討が十分なわけではないが、この評価は無意味と見る。ここでは3.における拡散係数の算出を行
 った際の一つの目安として、この \$K_d\$ の値が一応境界面の輸送を無視することにした。

5. COD 分布

いま、河川の浸水部の COD 分布に着目して、式(2)を用い、\$x'\$ として河川流下方向距離を用い
 れば、定常状態の COD 分布を表す式は次のようになる。

$$\frac{d}{dx} \left(D \frac{dL}{dx} \right) - \frac{d}{dx} (UL) - K_d L = -K(L_b - L) \quad \dots \dots \dots (9)$$

ここで、\$L\$: COD 濃度、\$K_d\$: COD 反応係数、\$L_b\$: 底層 COD 濃度。
 ここで \$D, U, K_d\$ は一定と仮定し、\$K\$ を小さいとして無視し、さらに \$x' = 0\$ で \$L = L_0\$ とすれば、

$$L = L_0 \exp \left[\frac{(U/2D)(1 \pm m)}{m} x' \right] \quad \dots \dots \dots (10)$$

$$m = \sqrt{1 + 4K_d D / U}$$

が得られる。符号は \$x' > 0\$ のとき \$-\$、\$x' < 0\$ のとき \$+\$。

COD 排出源を国-1の A (河口から距離 \$x = 1750m\$ に排出) および B (\$x = 700\$) の 2 個
 所のみとして、水質 (COD) 測定点 \$x = 520, 1750, 2460m\$ の 3 点より任意地点の COD 値
 は国-6 のようにして、各排出源に対して式(10)で表される解の線型結合として表されるものと
 する。このようにして未知排出源地点 B の濃度を求めた。

資料 \$U = 0.0451 m/sec, D = 23.0 m^2/sec, L_{2460} = 1.22 mg/l, L_A = 1.63 mg/l, L_{520} = 1.53 mg/l\$ 及び
 \$K_d = 0.30 /day\$ として \$L_B = 0.05 mg/l\$ である。

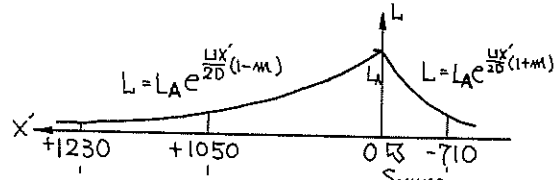
ここでは資料不足より、解法を検証が得られなかった。また \$L\$ として COD を用いること、
 および \$K_d\$ の値に對しては推定の域
 内で行って見よう。

以上 はほとんど十分な解析を行
 ったが、これが、今後検討を促して中
 かつたものである。諸賢の御批判を載
 ければ幸甚である。

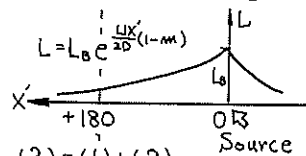
参考文献

- 1) 水質汚濁機構：衛生工学ハ
 プ 7, P.870 ~ 投稿堂。
- 2) M. O'Connor: Evolution distribution
 of nonconservative substances, ASCE
 SA1, Feb. 1965, 756.
- 3) Jppen et al: One dimensional
 analysis of salinity intrusion in estuaries
 Tech. Bul. Cop. Rep. U.S No.5 June 1961.

(1) A 点からの放流



(2) B 点からの放流



(3) = (1) + (2)

